

# 高韌性纖維補強セメント複合材料を用いた 梁の付着割裂実験

## Bond Splitting Tests for High-Performance Fiber-Reinforced Strain-Hardening Cementitious Composite Beams

細矢 博\* 河野政典\*

### 要旨

近年、コア壁構造の建物が建設されているが、コア壁の連結梁は短スパンであり、地震時には脆性的な付着割裂破壊を生じる恐れがある。これを防ぐため、モルタルにPVA纖維を混入した高韌性纖維補強セメント複合材料SHCCを用いる短スパン梁（以下、SHCC梁）の開発を行なっている。

本研究では、SHCC梁の主筋の付着特性を把握するため、カンチレバー型試験体を用いた付着割裂実験を行った。その結果、(1)PVA纖維の架橋効果により、かぶりの剥離や最大荷重後の急激な耐力の低下は生じず、付着割裂破壊が抑制された。(2)付着強度の実験値は、既往のRC付着強度式による計算値より高い値を示した。(3)付着強度は、既往のRC付着強度式において、PVA纖維による引張強度増大効果を考慮し、横補強筋比( $p_w$ )の項を修正することにより、概ね精度よく評価できた。

**キーワード：** 高韌性纖維補強セメント複合材料、梁、付着割裂実験、付着性状、付着強度

### 1. まえがき

近年、高層集合住宅では、居住空間の多様性を確保するために、平面計画の自由度に優れたセンターコア壁を用いるチューブ構造形式の建物が増加しつつある。しかしながら、この形式の建物では、コア壁とコア壁の連結梁は、短スパン梁になることが多い。短スパン梁では、大地震時には高い応力を受け、かつ大きな変形角を強いられる。このとき、連結梁は、脆性的な破壊形態であるせん断破壊や付着割裂破壊を引き起こす恐れがある。そこで、これを防ぐため、モルタルに有機纖維 PVA (Polyvinyl Alcohol)を混入させた高韌性纖維補強セメント複合材料 SHCC (Strain-Hardening Cementitious Composites)を用いた短スパン梁の開発を行なっている。この一環として、SHCC 梁の主筋の付着特性を把握するための付着割裂実験を行い、その付着性状、ならびに付着強度の評価方法について検討した。

### 2. 試験体概要

#### 2.1 試験体

試験体の諸元を表-1に、断面の形状・寸法および配筋を図-1に示す。試験体数は12体である。実験変動因子は、SHCCの設計基準強度、主筋配筋、横補強筋の鋼

材種別（鋼種）、横補強筋比である。

試験体断面寸法は  $200 \times 350\text{mm}$  である。主筋は D13 で、付着長さは  $208\text{mm}$ （主筋径の 16 倍）である。その自由端側  $204\text{mm}$  の領域と荷重端側  $76\text{mm}$  の領域には、それぞれ主筋外周に薄肉鋼管（外径  $19\text{mm}$ 、内径  $16.6\text{mm}$ ）を配して主筋の付着を絶縁している。試験体の材料は、モルタルに PVA 繊維を混入した高韌性纖維補強セメント複合材料 SHCC である。SHCC の設計基準強度は、試験体 Bo1～Bo6 では  $30\text{N/mm}^2$ 、試験体 Bo7 ～Bo12 では  $48\text{N/mm}^2$  である。試験体の主筋には、実建物の梁部材において機械式継手を使用する場合が多いことを念頭に置き、ねじ節鉄筋の異形鉄筋を用いた。この際、付着強度を確認することが目的であるため、主筋の降伏が先行しないように鉄筋には加熱処理を行い、降伏点を上昇させた。主筋の本数は、3 本もしくは 4 本の 2 種類である。横補強筋には、SD295 および SD685 の 2 種類の D6 を用い、横補強筋比  $p_w$  は 0%、0.4%、0.8%、1.2% の 4 種類とした。なお、試験体がせん断破壊しないよう試験体内部には補強筋を配筋した。

#### 2.2 使用材料

##### a. SHCC

SHCC の主要材料であるモルタルの調合を表-2に示す。モルタルには、PVA 繊維が体積混入率で 2.0% 混入している。PVA 繊維の諸元を表-3に示す。

\*技術研究所

材料試験により得られた SHCC の力学的性質を表-4 に示す。圧縮試験には、 $\phi 100 \times L200\text{mm}$  の円柱供試体を用いた。また、引張強度は、曲げ試験ならびに  $d$  ドッグボーン型試験体を用いた一軸引張試験により求めた。曲げ試験により得られた曲げモーメント-曲率 ( $M-\phi$ ) 関係を図-2 に、一軸引張試験により得られた引張応力度-ひずみ度 ( $\sigma-\epsilon$ ) 関係を図-3 に示す。曲げ試験ならびに一軸引張試験において、繊維架橋によるマルチプルクラック性状が認められ、 $M-\phi$  関係および  $\sigma-\epsilon$  関係では、たわみ硬化とひずみ硬化特性が認められた。

b. 鉄筋

材料試験により得られた鉄筋の力学的性質を表-5に示す。試験値を求める際の鉄筋の断面積は、全て公称断面積(D13: 126.7mm<sup>2</sup>、D6: 31.67mm<sup>2</sup>)とした。また、D6(SD685)では、応力-ひずみ関係において降伏棚が明確でなかったため、0.2%オフセット法を用いて降伏強度を算出した。なお、降伏ひずみを、それぞれ降伏強度を弾性係数で除して求めた。

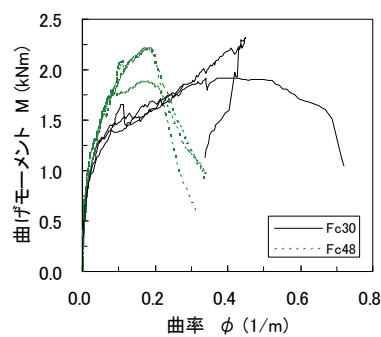


図-2 SHCCのM-φ関係

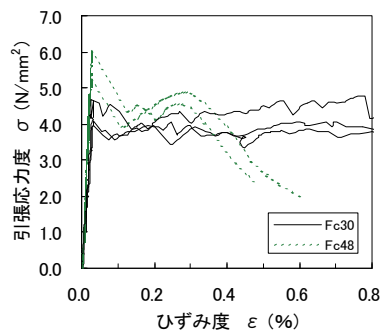


図-3 SHCCの $\sigma$ - $\varepsilon$ 関係

表-1 試験体諸元

### 主筋 D13:SD390 を加熱処理

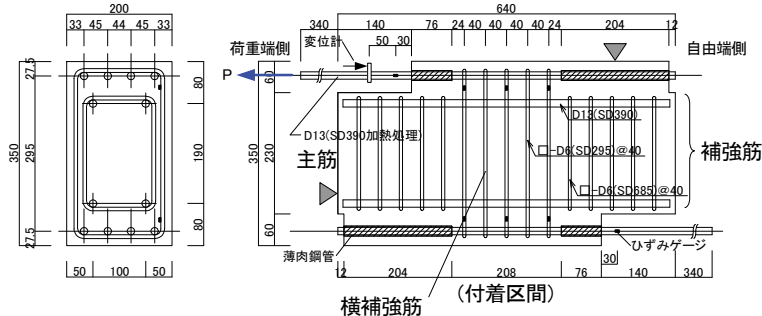


図-1 試験体の形状・寸法、配筋（試験体Bo4）

表-2 モルタルの調合

F <sub>c</sub> (N/mm <sup>2</sup> )	W/B	单位量(kg/m <sup>3</sup> )							
		W	C	B FA	膨胀材	S	收缩 低减剂	增粘剂	PVA 纤维
30	50.0	400	540	240	20	619	16.0	2.0	26
48	37.0	330	604	268	20	718	17.8	1.0	26

F<sub>c</sub>:設計基準強度、W:水、B:結合材、C:セメント、FA:フライアッシュ、S:砂

表-3 PVA 繊維の諸元

繊維長さ (mm)	繊維径 (mm)	破断強度 (N/mm <sup>2</sup> )	ヤング係数 (kN/mm <sup>2</sup> )
12.0	0.04	1690	40.6

表-4 SHCC の力学的性質

設計基準強度	圧縮強度	ヤング係数	引張終局ひずみ度 <sup>*1</sup>	引張強度 <sup>*1</sup>	引張終局ひずみ度 <sup>*2</sup>	引張強度 <sup>*2</sup>
F <sub>c</sub> (N/mm <sup>2</sup> )	σ <sub>B</sub> (N/mm <sup>2</sup> )	E <sub>c</sub> (kN/mm <sup>2</sup> )	ε <sub>t</sub> (%)	σ <sub>t</sub> (N/mm <sup>2</sup> )	ε <sub>t</sub> (%)	σ <sub>t</sub> (N/mm <sup>2</sup> )
30	44.5	15.3	2.86	4.61	1.30	4.30
48	66.5	23.5	1.13	4.41	0.28	5.54

\*1:曲げ試験(JCI-S-003-2007)<sup>1)</sup> \*2:一軸引張試験(ドッグボーン型・断面60×100mm)

表-5 鉄筋の力学的性質

部位	呼び名	種類	降伏強度 (N/mm <sup>2</sup> )	ヤング係数 (kN/mm <sup>2</sup> )	降伏ひずみ度 (%)	引張強度 (N/mm <sup>2</sup> )
主筋	D13	SD390*	929	191	0.486	952
横補強筋	D6	SD295	438	186	0.236	560
横補強筋	D6	SD685	743	179	0.416	914

\*: 加熱処理

### 2.3 実験方法

加力方法は、図-1に示すように主筋を一方向に単調引張加力するキャンチレバー形式をとった。先ず、上端筋を引張加力後、試験体を反転させて下端筋を引張加力した。計測に関しては以下の通りである。すなわち、全主筋（3本または4本）の総引張荷重を1台のロードセルで測定した。また、主筋荷重端ならびに自由端の滑り量を変位計で、主筋ならびに横補強筋のひずみ度をひずみゲージで測定した。この際、各主筋の分担力は、ロードセルにより得られた荷重( $P$ )を、各主筋の荷重端側の付着区間外に貼付したひずみゲージの測定値( $\varepsilon_i$ )をもとに比例配分( $P \times \varepsilon_i / \sum \varepsilon_i$ )して算出した。

## 3. 実験結果

### 3.1 破壊状況

典型的なひび割れ性状を示した F<sub>c</sub>30 シリーズの Bo3 試験体の破壊状況を写真-1に示す。全ての試験体において、最大荷重まではひび割れは少なかったが、最大荷重後に微細なひび割れが多数生じた。しかし、ひび割れ幅は 0.1mm 以下であった。それらのひび割れは、付着領域から反力点側に向かう応力ストラットに沿って進展した。また、RC 梁の付着割裂破壊にみられるような主筋に沿う付着割裂ひび割れは少なく、全ての試験体において、SHCC のかぶりの剥離やそれに伴う最大荷重以後の急激な耐力の低下はみられなかった。写真で観察されるように、ひび割れ数は上端筋側が下端筋側に比べて少なかった。これは、上端筋側は下端筋側に比べ SHCC 内に PVA 繊維が多く含まれ、繊維の架橋効果により SHCC の引張強度が増大し、付着割裂ひび割れの発生が少なかったものと考えられる。

最終破壊モードは、全試験体とともに主筋の抜け出し破壊であった。

### 3.2 上端筋、下端筋の付着強度

加力実験で得られた上端筋と下端筋の最大荷重の比較を図-4に示す。F<sub>c</sub>30 シリーズ、F<sub>c</sub>48 シリーズとも上端筋の荷重は下端筋の荷重を上回り、ばらつきが少ない直線的な分布をしている。上端筋の下端筋に対する最大荷重の比の平均をとると 1.08 であった。通常の RC 梁では、一般に上端筋の付着強度が下端筋の付着強度より小さくなるが、本実験の SHCC 梁の場合は、全ての試験体において、上端筋の付着強度が下端筋に比べて大きいことを確認した。これは、上述したように、下端筋側に比べ上端筋側では PVA 繊維が多く含まれ、繊維の架橋効果により SHCC の引張強度が増大したためと考えられる。このことは、下端筋側に比べ上端筋側で付着割裂ひび割れが少なかったことに対応している。これ以降、引張強度の評価には、上端筋の付着強度を 1.08 で除し、全て下端筋強度に換算して整理することとする。

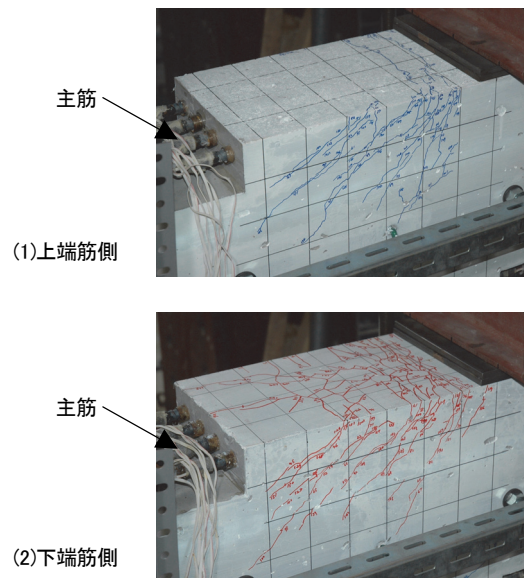


写真-1 最終破壊状況例 (Bo3 試験体)

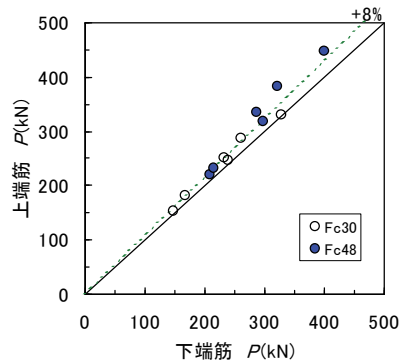


図-4 上端筋と下端筋の最大荷重の比較

### 3.3 付着応力度-滑り量曲線

最大荷重時の主筋の変位（滑り量）と付着強度の実験結果を表-6に、平均付着応力度 ( $\tau_b$ ) - 自由端平均滑り量 (s) 関係を図-5に示す。表中の隅筋および中筋の付着強度は、各主筋に貼付したひずみゲージの測定値から求めた分担力の最大値で、平均値とはロードセルより測定した引張荷重の最大値を主筋の付着面積の総和で除して求めた値である。各主筋の分担力の最大値は必ずしも同一時刻には発生しないので、隅筋と中筋の引張強度の最大値の平均と全主筋の引張強度の平均値とは異なる結果になっている。なお、荷重端の滑り量は、荷重端側の変位計測点の計測値から付着区間外の主筋の伸びを引くことで補正を行なっている。

図-5の  $\tau_b$ -s 曲線より、横補強筋比が大きくなるほど付着応力度のピーク時の滑り量が大きくなっていることがわかる。また、F<sub>c</sub>30 シリーズに比べ、SHCC の強度が大きい F<sub>c</sub>48 シリーズでは、ピーク後の軟化勾配が僅かではあるが急な傾向にあることがわかる。

横補強筋の有無による付着強度への影響に関して、既往の研究<sup>2)</sup>によると、普通コンクリートでは、横補

強筋が配筋されていない場合には、荷重ピーク後に急激な付着応力の低下を伴うのに対し、横補強筋が配筋されている場合には、ピーク後の付着応力の低下が小さいという知見が得られている。しかし、本実験では、使用材料にコンクリートではなく SHCC を用いているため、横補強筋の有無によらず、付着応力の低下傾向は似ており、ピーク後の挙動に大きな差はみられなかった（例えば、Bo2 と Bo3、Bo8 と Bo9）。このことから、SHCC の PVA 繊維は、横補強筋と同様な働きをし、付着力を保持する効果があることを確認した。

### 3.4 横補強筋による付着強度への影響

基準化付着強度と横補強筋比との関係を図-6 に示す。ここで、付着強度は、SHCC の圧縮強度 ( $\sigma_B$ ) の平方根で除することで基準化している。

上端筋、下端筋にかかわらず基準化付着強度 ( $\tau$

$\sqrt{\sigma_B}$  ) は、横補強筋比 ( $p_w$ ) が増大するにつれて増大し、ほぼ線形関係にあることがわかる。また、 $p_w=0$  であっても、基準化付着強度は 0.8 程度あることがわかる。

本実験では、2種類の規格強度の横補強筋 SD295 と SD685 を用いたが、横補強筋の鋼種の違いによる付着強度の差は最大で 3 %程度であり、ほとんど差異がみられなかった（Bo3 と Bo6、Bo9 と Bo10）。このことから、SHCC の付着強度に与える横補強筋の効果は、鉄筋の強度に依存しないといえる。

### 3.5 付着強度の評価

#### a. 付着強度式

主筋の付着強度の実験値を、既往の RC 付着強度式である藤井・森田式<sup>2)</sup>、終局強度型設計指針式<sup>3)</sup>、ならびに韌性保証型設計指針式<sup>4)</sup>より得られた計算値と比較する。この際、破壊形式は、付着実験でのひび割れ状況を

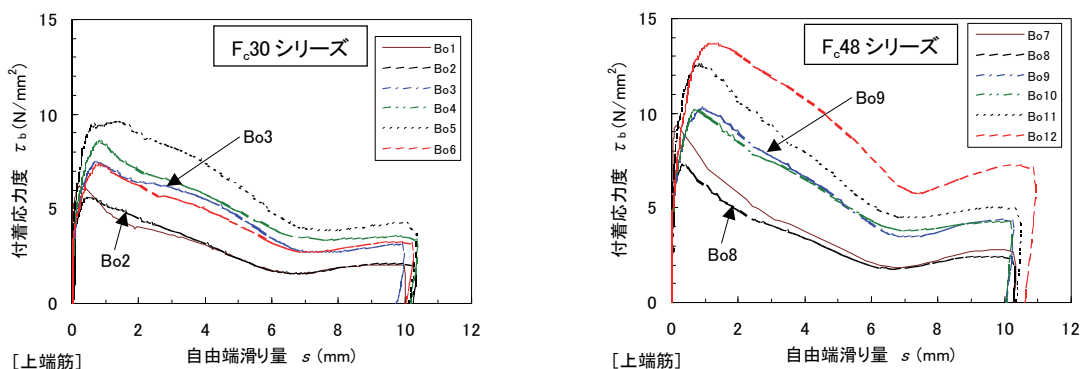


図-5 平均付着応力度—自由端平均滑り量関係（上端筋）

※Bo12 では、最大荷重近傍で主筋が降伏した。

表-6 最大荷重時の変位（滑り量）と付着強度

試験体	SHCC 圧縮強度 $\sigma_B$ (N/mm²)	横補強 筋比 $p_w$ (%)	最大荷重時の変位（滑り量）				付着強度		
			荷重端		自由端		隅筋 (mm)	中筋 (mm)	平均値 (N/mm²)
44.5	Bo1 上端	0	0.36	0.45	0.13	0.29	6.31	6.41	6.15
			0.48	0.60	0.16	0.29	6.07	6.23	5.95
	Bo2 上端	0	0.43	1.16	0.39	1.04	5.84	6.11	5.46
			0.67	1.05	0.50	0.76	5.04	5.43	5.01
	Bo3 上端	0.4	0.80	0.86	0.67	0.84	7.71	7.19	7.51
			—	—	0.67	0.79	7.65	6.31	7.19
	Bo4 上端	0.8	—	—	0.79	0.88	9.37	7.80	8.65
			1.05	0.88	0.84	0.68	8.88	7.12	7.83
	Bo5 上端	1.2	0.71	1.26	0.62	0.92	9.66	11.10	9.90
			—	—	0.76	0.81	9.35	10.12	9.83
	Bo6 上端	0.4	0.97	1.16	0.79	0.91	7.29	7.43	7.56
			—	—	0.59	0.53	7.97	6.53	6.96
66.5	Bo7 上端	0	—	—	0.18	0.10	9.59	9.14	9.11
			0.64	0.61	0.40	0.36	8.55	9.15	8.40
	Bo8 上端	0	0.44	0.49	0.29	0.33	7.43	7.15	7.27
			0.52	0.61	0.32	0.37	6.22	6.77	6.56
	Bo9 上端	0.4	1.22	1.15	0.99	0.88	10.37	10.24	10.09
			0.94	0.77	0.67	0.59	8.96	8.16	8.72
	Bo10 上端	0.4	—	—	0.60	0.77	11.36	9.04	9.98
			—	—	0.57	0.76	9.30	8.08	8.91
	Bo11 上端	0.8	0.78	0.89	0.71	0.85	13.66	11.55	12.68
			2.34	0.88	1.92	0.61	13.31	8.50	9.67
	Bo12 上端*	1.2	—	—	1.07	1.34	13.70	13.95	13.54
			—	—	0.73	1.15	12.17	12.67	12.05

\* : 主筋降伏 - : 計測不備

勘案し、全ての試験体でサイドスプリット型と仮定している。また、SHCC の圧縮強度は、材料試験で得られた圧縮強度  $\sigma_B$  を用いている。

#### b. 実験値と計算値との比較

実験値と計算値との比較を表-7、ならびに図-7 に示す。3式とも、実験値は計算値を上回っている。実験値の計算値に対する比の平均は、藤井・森田式では 1.60 (標準偏差 0.12、変動係数 0.08)、終局強度型設計指針式では 1.59 (0.14、0.09)、韌性保証型設計指針式では 2.02 (0.29、0.14) であった。藤井・森田式は他式に比べてばらつきが小さく対応度が優れている。実験値は計算値を 1.59~2.02 倍上回っており、RC 梁に比べ、SHCC 梁では PVA 繊維による付着強度の増加が確認された。これは、既往の付着強度式は、SHCC 梁の付着強度を過小に評価することを示している。

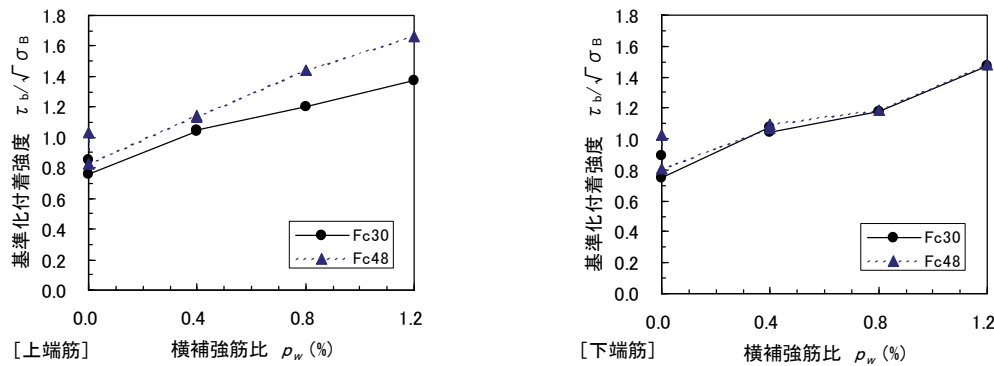


図-6 基準化付着強度一横補強筋比関係

表-7 実験値と計算値との比較

試験体	横補強筋比 $p_w$ (%)	実験値			計算値			修正式計算値 ( $p_w+0.8\%$ )			実験値(平均)/計算値			実験値(平均)/修正式計算値 ( $p_w+0.8\%$ )				
		付着強度 (上端/1.08)			藤井・ 森田式	終局 強度型 指針式	韌性 保証型 指針式	藤井・ 森田式	終局 強度型 指針式	韌性 保証型 指針式	藤井・ 森田式	終局 強度型 指針式	韌性 保証型 指針式	藤井・ 森田式	終局 強度型 指針式	韌性 保証型 指針式		
		隅筋	中筋	平均														
Bo1	上端 下端	0	5.84 6.07	5.93 6.23	5.69 5.95	4.32 4.32	4.49 4.49	3.02 3.02	6.92 6.92	6.64 6.64	5.23 5.23	1.32 1.38	1.27 1.32	1.89 1.97	0.82 0.86	0.86 0.90	1.09 1.14	
		0	5.41 5.04	5.65 5.43	5.06 5.01	3.32 3.32	3.42 3.42	2.29 2.29	5.27 5.27	5.35 5.35	3.95 3.95	1.52 1.51	1.48 1.46	2.20 2.18	0.96 0.95	0.94 0.94	1.28 1.27	
Bo3	上端 下端	0.4	7.14 7.65	6.65 6.31	6.95 7.19	4.28 4.28	4.38 4.38	3.47 3.47	6.24 6.24	6.31 6.31	5.83 5.83	1.62 1.68	1.59 1.64	2.00 2.07	1.11 1.15	1.10 1.14	1.19 1.23	
		0.8	8.68 8.88	7.22 7.12	8.01 7.83	5.25 5.25	5.33 5.33	4.65 4.65	7.22 7.22	7.26 7.26	7.00 7.00	1.53 1.49	1.50 1.47	1.72 1.68	1.11 1.08	1.10 1.08	1.14 1.12	
Bo5	上端 下端	1.2	8.94 9.35	10.28 10.12	9.17 9.83	6.23 6.23	5.82 5.82	6.87 6.87	8.20 8.20	9.04 9.04	9.91 9.91	1.47 1.58	1.57 1.69	1.34 1.43	1.12 1.20	1.01 1.09	0.92 0.99	1.28 1.27
		0.4	6.75 7.97	6.88 6.53	7.00 6.96	4.28 4.28	4.38 4.38	3.47 3.47	6.24 6.24	6.31 6.31	5.83 5.83	1.63 1.63	1.60 1.59	2.02 2.00	1.12 1.11	1.11 1.10	1.20 1.19	
Bo7	上端 下端	0	8.88 8.55	8.47 9.15	8.44 8.40	5.28 5.28	5.49 5.49	3.69 3.69	8.46 8.46	8.11 8.11	5.90 5.90	1.60 1.59	1.54 1.53	2.29 2.28	1.00 0.99	1.04 1.04	1.43 1.42	
		0	6.88 6.22	6.62 6.77	6.73 6.56	4.05 4.05	4.18 4.18	2.81 2.81	6.44 6.44	6.54 6.54	4.46 4.46	1.66 1.62	1.61 1.57	2.40 2.34	1.05 1.02	1.03 1.00	1.51 1.47	
Bo9	上端 下端	0.4	9.60 8.96	9.48 8.16	9.34 8.72	5.23 5.23	5.35 5.35	3.98 3.98	7.63 7.63	7.71 7.71	6.34 6.34	1.79 1.67	1.75 1.63	2.35 2.19	1.22 1.14	1.21 1.13	1.47 1.38	
		0.4	10.52 9.30	8.37 8.08	9.24 8.91	5.23 5.23	5.35 5.35	3.98 3.98	7.63 7.63	7.71 7.71	6.34 6.34	1.77 1.70	1.73 1.67	2.32 2.24	1.21 1.17	1.20 1.16	1.46 1.41	
Bo11	上端 下端	0.8	12.65 13.31	10.69 8.50	11.74 9.67	6.41 6.41	6.52 6.52	5.16 5.16	8.83 8.83	8.87 8.87	7.51 7.51	1.83 1.51	1.80 1.48	2.28 1.87	1.33 1.10	1.32 1.09	1.56 1.29	
		1.2	12.68 12.17	12.91 12.67	13.54 12.05	7.62 7.62	7.12 7.12	7.38 7.38	10.02 10.02	11.05 11.05	10.42 10.42	1.78 1.58	1.90 1.69	1.84 1.63	1.35 1.20	1.23 1.09	1.30 1.16	
*: 主筋降伏																		
平均																		
標準偏差																		
変動係数																		

一方、表-7 で横補強筋が配筋されていない試験体 Bo2(Bo8)の付着強度の実験値と、横補強筋が 0.8%配筋されている試験体 Bo4(Bo11)の藤井・森田式による計算値とを比較すると、両者はほぼ等しい値であった。このことから、PVA 繊維 2.0vol%の混入効果は、横補強筋比  $p_w=0.8\%$ の配筋効果に相当するものと判断した。これをふまえ、全試験体を対象に、横補強筋比  $p_w$  に 0.8%を一律に加え、再度 3式により付着強度を計算した。実験値と計算値との比較を表-7 ならびに図-8 に示す。

実験値の修正式計算値に対する比の平均は、藤井・森田式では 1.10 (標準偏差 0.13、変動係数 0.11)、終局強度型設計指針式では 1.08 (0.11、0.10)、韌性保証型設計指針式では 1.28 (0.17、0.13) であった。実験値の修正式計算値に対する比の平均は 1.08~1.28 倍となり、修正式は SHCC 梁の付着強度を概ね精度良く推定でき

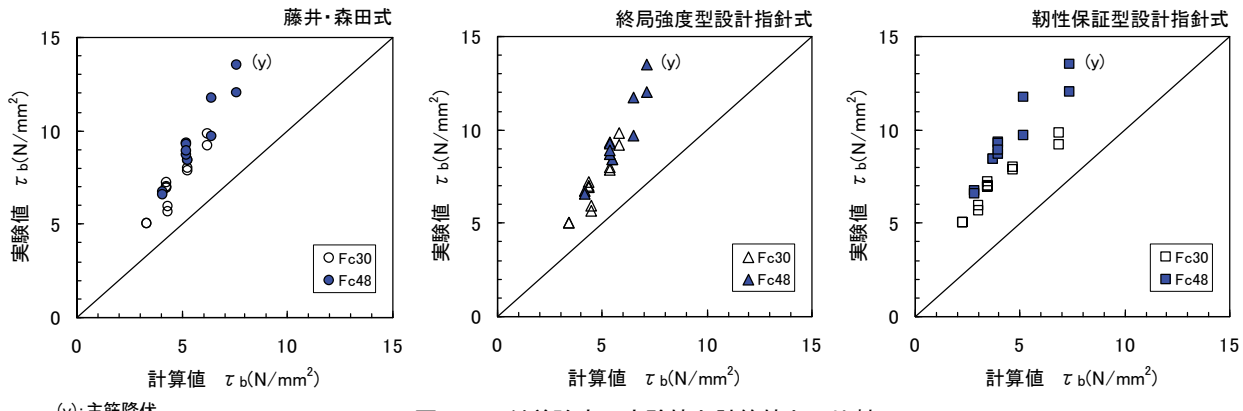


図-7 付着強度の実験値と計算値との比較

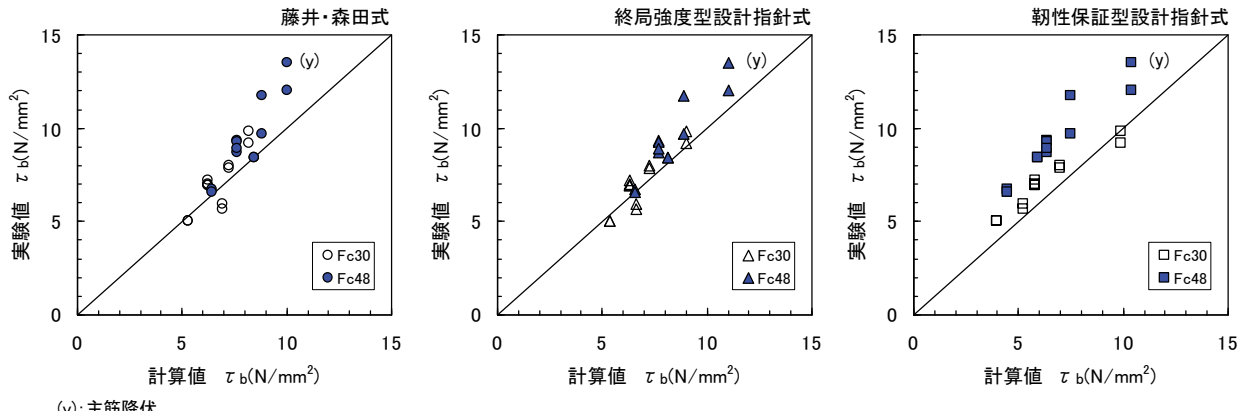


図-8 付着強度の実験値と修正式による計算値との比較

いるといえる。このことから、SHCC 梁の付着強度は、既往の RC 付着強度式の  $p_w$  の項を修正することにより推定できるものと考えられる。

#### 4.まとめ

本実験の範囲で、以下の知見が得られた。

- i. SHCC 梁においては、PVA 繊維による付着ひび割れ分散効果、ならびにひび割れ幅抑制効果がみられた
- ii. PVA 繊維の架橋効果により、かぶりの剥離や最大荷重後の急激な耐力の低下は生じず、付着割裂破壊が抑制された
- iii. 横補強筋比 ( $p_w$ ) の増加に伴い、主筋の基準化付着強度 ( $\tau_b \propto \sqrt{\sigma_B}$ ) は線形的に増大した
- iv. 横補強筋の鋼種が異なっても、主筋の付着強度に差異はなかった
- v. SHCC 梁の付着強度の実験値は、既往の RC 付着強度式による計算値より高い値を示した
- vi. SHCC 梁の付着強度は、既往の RC 付着強度式において PVA 繊維の引張強度増大効果を考慮し、横補強筋比( $p_w$ )の項を修正することにより概ね精度よく評価できた、また、本実験に供した SHCC 梁における PVA 繊維の効果は、横補強筋比 ( $p_w$ ) に換算すると、0.8%相当であると考えられる

#### 5. あとがき

SHCC 梁の付着特性を把握することができた。また、SHCC 梁の付着強度の適正な算出方法を提案することができた。今後は、SHCC 梁のせん断余裕度と変形性能の関係について検討する予定である。

筑波大学の金久保利之准教授には懇切丁寧なご指導を頂くとともに、金久保研究室の方々には付着実験の実施にあたりご協力を得た。また、建築研究所の福山洋博士には、有益なご助言を頂いた。ここに記して謝意を表する。

#### 【参考文献】

- 1) JCI-S-003-2007、繊維補強セメント複合材料の曲げモーメント-曲率曲線試験方法、JCI 規準
- 2) 藤井 栄、森田司郎、「異形鉄筋の付着割裂強度に関する研究-第1報 付着割裂破壊を支配する要因についての実験結果-」、日本建築学会論文集、第 319 号、pp.47~54、1982.9
- 3) 「鉄筋コンクリート造建物の終局強度型耐震設計指針・同解説」、日本建築学会、1990
- 4) 「鉄筋コンクリート造建物の韌性保証型耐震設計指針・同解説」、日本建築学会、1999